

Relatório do Laboratório 2 - Teorema da Amostragem

EET-01

Igor Magalhães
igorcmag@gmail.com

Rafael Gonçalves
rafael.goncalves@ga.ita.br

23 de maio de 2020

1 Aliasing de um Senoidal

1.1 a)

oi

1.2 b)

1.3 c)

1.4 d)

1.5 e)

2 Aliasing de um Chirp

2.1 a)

$$f_i(t) = \mu t + f_l = 600t + 4 \therefore f_i(0) = 4kHz \therefore f_i(50ms) = 600 \cdot 0.05 + 4 = 34kHz$$

Assim, a faixa de frequência é de 0 a 34kHz.

2.2 b)

$$c[n] = c(nT) = c\left(\frac{n}{f_s}\right) = \cos\left(\frac{\pi\mu}{f_s^2}n^2 + \frac{2\pi f_l}{f_s}n + \psi\right)$$

Fazendo $f_s = 8kHz$ e $\psi = 0$:

$$c[n] = \cos\left(\frac{3}{320}\pi n^2 + \pi n\right)$$

Perceba que a função é par. O sinal de amostragem foi gerado pelo **código** e seu gráfico está exposto na **figura**.

Listing 1: Código em MATLAB para gerar o sinal amostrado do item (b) do exercício 2, bem como seus gráficos 'plot' e 'stem'.

```

1 set(0, 'defaulttextinterpreter', 'Latex');
2
3 n = 0:100;
4 c = cos((3/320)*pi*(n.^2)' + pi*n');
5 subplot(1,2,1);plot(n, c);title('$c[n]$ plot');xlabel('$n$');ylabel('$c[n]$');
6 subplot(1,2,2);stem(n, c);title('$c[n]$ stem');xlabel('$n$');ylabel('$c[n]$');

```

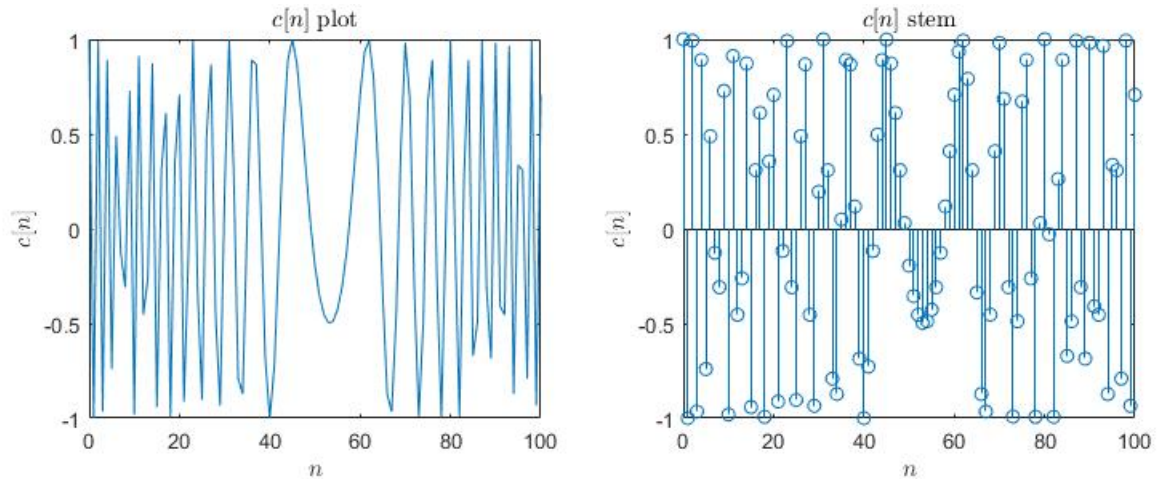


Figura 1: Gráficos 'plot' e 'stem', respectivamente, de $c[n]$

2.3 c)

$$f_i(t) = 0 \therefore \frac{\mu}{f_s} n + \frac{f_l}{f_s} = 0 \therefore n \approx -53$$

Isso é confirmado pelo gráfico, pois a função é par, isto é, $f(-n) = f(n)$, podemos olhar em $n = 53$. No tempo, isso equivale a $t = \frac{n}{f_s} = 6.67ms$. No **código**, plotamos $c[n]$ para n de 0 a 1000, como mostra a **figura**. Vemos que as regiões de baixa frequência estão regularmente espaçadas.

Listing 2: Código em MATLAB para gerar o sinal amostrado do item (b) do exercício 2, bem como seu gráfico 'plot' para n variando de 0 a 1000.

```

1 set(0, 'defaulttextinterpreter', 'Latex');
2
3 n = 0:100;
4 c = cos((3/320)*pi*(n.^2)' + pi*n');
5 subplot(1,2,1);plot(n, c);title('$c[n]$ plot');xlabel('$n$');ylabel('$c[n]$');
6 subplot(1,2,2);stem(n, c);title('$c[n]$ stem');xlabel('$n$');ylabel('$c[n]$');

```

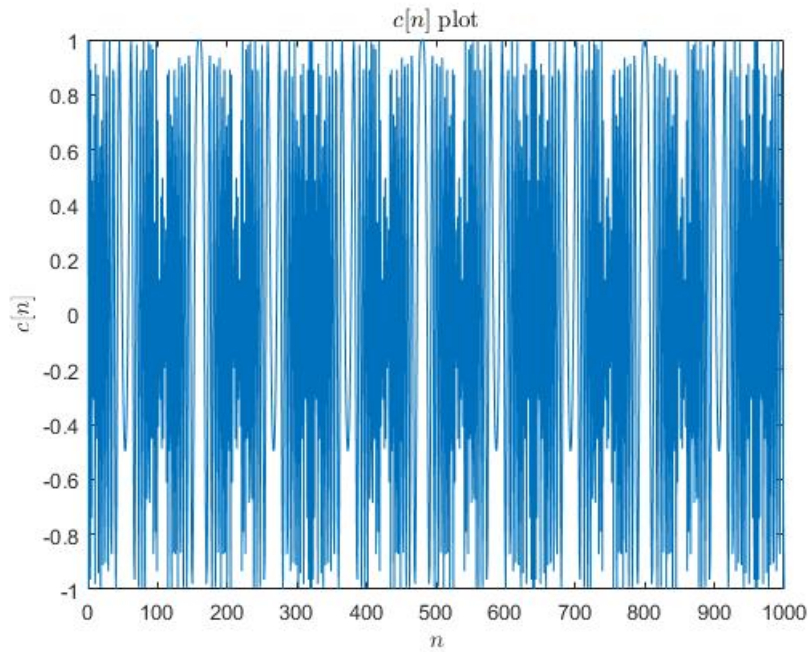


Figura 2: Gráfico 'plot' de $c[n]$ com n de 0 a 1000

3 Escutando o Aliasing

3.1 a)

3.2 b)

4 Montagem de uma Onda Sinoidal

As equações são:

$$2 = A \cos(\phi)$$

$$1 = A \cos(\omega + \phi)$$

$$-1 = A \cos(2\omega + \phi)$$

Somando a segunda com a terceira, tem-se:

$$A \cos(\omega + \phi) + A \cos(2\omega + \phi) = 0 \therefore \cos\left(\frac{3\omega}{2} + \phi\right) \cos\left(\frac{\omega}{2}\right) = 0$$

$$\cos\left(\frac{\omega}{2}\right) = 0 \therefore \omega = (2k + 1)\pi,$$

ou

$$\cos\left(\frac{3\omega}{2} + \phi\right) = 0 \therefore \omega = \frac{(2k + 1)\pi}{3} - \frac{2\phi}{3}.$$

Substituindo A da primeira equação na segunda, tem-se

$$\frac{1}{2} \cos(\phi) = \cos(\omega + \phi).$$

No primeiro caso, $\cos(\omega + \phi) = \cos((2k + 1)\pi + \phi) = -\cos(\phi)$, logo $\frac{1}{2} = -1$, absurdo. No segundo caso

$$\frac{1}{2}\cos(\phi) = \cos\left(\frac{2(k+1)\pi}{3} + \frac{\phi}{3}\right)$$

A resolução analítica desta equação é complicada e depende do resto que k deixa na divisão por 3, isto é, é preciso separar em três casos. Para mostrar que não há uma única solução, é suficiente darmos um contra-exemplo.

Para $k = 1$, temos a solução $\phi = \pi$ no intervalo $[0, 2\pi)$. A solução final fica

$$x_1(t) = -2\cos\left(\frac{\pi}{3}t + \pi\right) = 2\cos\left(\frac{\pi}{3}t\right)$$

Para $k = 4$, temos a mesma equação em ϕ e portanto a mesma solução $\phi = \pi$. No entanto, dessa vez a solução final fica

$$x_2(t) = -2\cos\left(\frac{7\pi}{3}t + \pi\right) = 2\cos\left(\frac{7\pi}{3}t\right)$$

Portanto, a informação não é suficiente para determinar $x(t)$.

5 Interpolação Polinomial Linear

5.1 a)

5.2 b)

5.3 c)

6 Filtragem Passa-Baixo Ideal

6.1 a)

No **codigo**, implementamos a função *interpolador-seno*, que recebe o vetor x de amostras, o vetor n dos índices correspondentes, e o período de amostragem T_s . Ele então reconstrói o sinal contínuo x_r dado por

$$x_r(t) = \sum_{i=1}^{length(n)} x[i] \frac{\sin(\pi(t - n[i]T_s)/T_s)}{\pi(t - n[i]T_s)/T_s}$$

Listing 3: Código em MATLAB que cria a função interpoladora senoidal.

```
1 function f = interpolador_seno(x, n, Ts)
2 syms t;
3 f(t) = 0*t;
4 for i=1:length(n);
5     f(t) = f(t) + x(i)*sin(pi*(t - n(i)*Ts)/Ts)/(pi*(t - n(i)*Ts)/Ts);
6 end
```

6.2 b)

Usamos a função criada para interpolar uma amostra de um único ponto $x(0) = 1$, como descrito no **codigo** e exposto na **figura**.

Listing 4: Código em MATLAB interpolar a amostra de um único ponto $x(0)=1$, bem como plotar seu gráfico.

```
1 set(0, 'defaulttextinterpreter', 'Latex');
```

```

2 |
3 | n = [0];
4 | x = [1];
5 | Ts = 1;
6 | x_r = interpolador_seno(x, n, Ts);
7 | fplot(x_r);title('x(0)=1');xlabel('$t$');ylabel('$x_r(t)$');

```

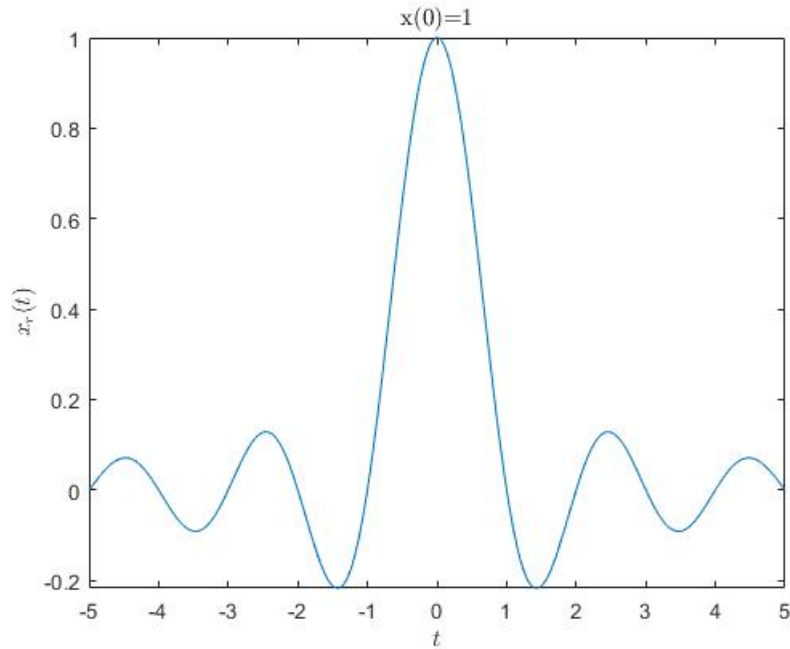


Figura 3: Gráfico da interpolação senoidal da amostra de um único ponto $x(0) = 1$

6.3 c)

Dessa vez usamos a função criada para interpolar uma amostra de três pontos $x(0) = 2$, $x(1) = 1$ e $x(2) = -1$ como descrito no **codigo** e exposto na **figura**.

Listing 5: Código em MATLAB interpolar a amostra de três pontos $x(0) = 2$, $x(1) = 1$ e $x(2) = -1$, bem como plotar seu gráfico.

```

1 | set(0, 'defaulttextinterpreter', 'Latex');
2 |
3 | n = [0, 1, 2];
4 | x = [2, 1, -1];
5 | Ts = 1;
6 | x_r = interpolador_seno(x, n, Ts);
7 | fplot(x_r);title('x(0)=2, x(1)=1 e x(2)=-1');xlabel('$t$');ylabel('$x_r(t)$');

```

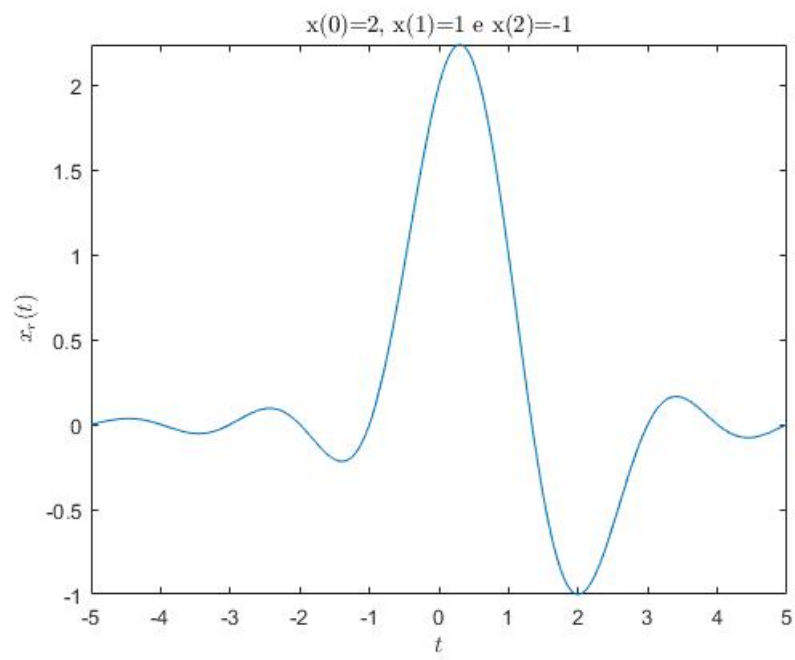


Figura 4: Gráfico da interpolação senoidal da amostra de três pontos $x(0) = 2$, $x(1) = 1$ e $x(2) = -1$